СТРОЕНИЕ ВЕЩЕСТВА И КВАНТОВАЯ ХИМИЯ

УЛК: 541.571.9

ВЛИЯНИЕ ГАЛОГЕНА ПРИ АТОМЕ ДВУХВАЛЕНТНОЙ СЕРЫ НА СВОЙСТВА КОМПЛЕКСОВ С ХАЛЬКОГЕННОЙ И ВОЛОРОЛНОЙ СВЯЗЬЮ

© 2023 г. А. Н. Исаев^{а,*}

^aИнститут органической химии им. Н.Д. Зелинского РАН, 119991 Москва, Россия
*e-mail: isaevaln@ioc.ac.ru
Поступила в редакцию 10.04.2022 г.
После доработки 28.11.2022 г.

Принята к публикации 29.11.2022 г.

Квантово-химическим методом MP2/aug-cc-pVTZ проведены расчеты бинарных комплексов с халькогенной связью (А-комплексы) и водородной связью (Б-комплексы), образованных молекулами SHX (X = F, Cl, Br, OH) двухвалентной серы и молекулой воды. Проведены NBO-анализ, топологический анализ электронной плотности и разложение энергии связи на компонеты для комплексов обоих типов. Квантово-химические расчеты показали, что энергии связи, энергии межорбитального взаимодействия мономеров, а также величины электронной плотности в критической точке (3, -1) межмолекулярного контакта в A- и Б-комплексах имеют близкие значения. Основной вклад в стабилизацию комплексов вносит электростатическое взаимодействие, однако в Б-комплексах значителен также вклад компоненты с переносом заряда. Заметную роль в связывании мономеров в комплексах обоих типов играет дисперсионная энергия. Согласно проведенным расчетам взаимопревращение A- и Б-комплексов происходит с очень низким акти-

Ключевые слова: нековалентные взаимодействия, халькогенная и водородная связь, структура переходного состояния, MP2/aug-cc-pVTZ -расчеты

DOI: 10.31857/S0044453723050114. **EDN:** MOVDHT

вационным барьером.

Межмолекулярные (нековалентные) взаимодействия лежат в основе различных физико-химических процессов и биохимических реакций. В исследованиях в последние десятилетия были получены доказательства того, что ключевую роль в межмолекулярных взаимодействиях играет электростатика. Так, еще в 1977 году было высказано мнение, что водородное связывание в молекулярных комплексах определяется существованием области положительного электростатического потенциала (ESP) на атоме водорода [1]. Последующие исследования показали, что появление областей положительного и отрицательного ESP является результатом перераспределения электронной плотности при образовании молекулы из атомов. Положительный электростатический потенциал связан с областью пониженной электронной плотности, которая может появляться на продолжении ковалентной σ-связи. Такая область пониженной электронной плотности получила в литературе название σ-дырки (σ-hole) [2].

Взаимодействие положительного ESP-потенциала электронодефицитной области с донором неподеленной пары приводит к электростатической стабилизации молекулярного комплекса. К настоящему времени способность к межмолекулярному обрачному связыванию выявлена у элементов IV—VII групп периодической таблицы, на ковалентно-связанных атомах которых найдены области положительного электростатического потенциала [3—6]. Межмолекулярное связывание с участием атомов этих элементов получило в литературе название тетрельной, пниктогенной, халькогенной и галогенной связей.

Величина связанного с σ-дыркой ESP-потенциала, которая в значительной степени определяется электронной плотностью на σ-дырке, зависит от поляризуемости атома и его электронодонорных свойств. Дефицит электронной плотности увеличивается при переходе от легкого к тяжелому атому в данной группе периодической таблицы [7]. Большие тяжелые атомы имеют более высокую поляризуемость и менее электроотрицательны, что приводит к большим положительным значе-

ниям ESP. Электростатический потенциал в области σ -дырки растет с увеличением электроноакцепторных свойств других частей молекулы и весьма чувствителен к распределению заряда во всей молекуле [8]. Помимо электростатического взаимодействия в молекулярных комплексах при σ -дырочном связывании заметную роль могут играть дисперсионные силы [9—12], а также межорбитальное взаимодействие с переносом заряда [13—16].

Хотя в настоящее время нековалентные взаимодействия активно изучаются теоретической химией, работ, в которых проводится прямое сравнение о-комплексов разного типа, по-прежнему немного, и ряд важных вопросов остается малоизученным. Например, можно ли говорить, что природа межмолекулярного взаимодействия в о-комплексах с водородной и халькогенной связью одинакова, если рассматривать электростатическую, донорно-акцепторную и дисперсионную компоненты энергии связи? С целью получить ответ на этот вопрос в настоящей работе с использованием квантово-химических методов выполнен сравнительный анализ свойств водородной связи S-Н О и халькогенной связи X-S···О в комплексах, образованных молекулами SHX (X = F, Cl, Br, OH) двухвалентной серы с молекулой воды.

МЕТОЛЫ РАСЧЕТОВ

Рассмотрены простые бинарные комплексы, в которых роль донора электронной пары (основания Льюиса) играла молекула воды, а функцию акцептора-кислоты Льюиса выполняли молекулы SHX (X = F, Cl, Br, OH), содержащие атом двухвалентной серы S(II). Проводился сравнительный анализ о-дырочного связывания для двух вариантов ориентации мономеров. В соответствии с локализацией областей пониженной электронной плотности и положительного электростатического потенциала (ESP) (см. рис. 1), в о-дырочном связывании может участвовать как атом серы, так и атом водорода молекулы SHX. В комплексах первого типа (комплексы А) молекула SHX образует с молекулой воды халькогенную связь S···O, а в комплексах второго типа (комплексы Б) — водородную связь $S-H\cdots O$.

Квантово-химические расчеты молекулярных комплексов типов A и Б проведены по программе Gaussian 09 [17] методом MP2/aug-cc-pVTZ, который в последние годы широко используется при исследовании нековалентных взаимодействий. В исследовании [18] межмолекулярных взаимодействий различной природы было показано, что метод MP2 [19] теории возмущений Меллера—Плессета второго порядка дает корректное описа-

ние свойств молекулярных комплексов при проведении расчетов в корреляционно-согласованных базисах Даннинга aug-cc-pVxZ (x = T, Q), дополненных диффузными функциями [20].

Структуры, найденные в расчетах с полной оптимизацией геометрии, были проверены на отсутствие мнимых частот в матрице силовых констант. Энергии связи в молекулярных комплексах были определены как разность между полной энергией комплекса и суммой полных энергий изолированных мономеров и далее скорректированы с учетом суперпозиционной ошибки базисного набора (BSSE) согласно схеме Бойса—Бернарди [21]. Анализ орбиталей натуральных связей (NBO) [22, 23] и расчеты химических сдвигов ЯМР по методу GIAO [24, 25] проводились с использованием процедур, включенных в программный пакет Gaussian 09.

Молекулярные графы построены на основе данных квантово-химических расчетов с помощью программы Multiwfn [26]. Для анализа топологии электронной плотности в комплексах по теории Бейдера [27, 28] использован метод AIM программы Gaussian 09 и программа Multiwfn. Разложение энергии взаимодействия мономеров на компоненты выполнено с использованием програмного пакета GAMESS [29, 30].

ОБСУЖДЕНИЕ РЕЗУЛЬТАТОВ

Геометрия и энергия связи. Бинарные комплексы с халькогенной и водородной связью (А- и Бкомплексы, соответственно), которые рассматриваются в настоящей статье, показаны на рис. 2. Расчетные геометрические параметры комплексов приведены на рисунке и в табл. 1. Из таблицы видно, что хотя межмолекулярное расстояние в Н-связанных комплексах заметно меньше, чем в комплексах с халькогенной связью, энергии связи в комплексах обоих типов оказываются близки. ~4-6 ккал/моль. По данным расчетов наиболее прочную халькогенную связь S···О с молекулой воды образует молекула SHF. Этот вывод согласуется с результатами квантово-химических расчетов [31] на уровне MP2/aug-cc-pVDZ комплексов, образованных галогензамещенными производными молекулы SH_2 с молекулой аммиака. Согласно [31] энергия халькогенной связи в комплексе Н₃N···SHF превышает 10 ккал/моль, тогда как в комплексе Н₃N…SHBr она менее 5 ккал/моль.

С уменьшением электроотрицательности заместителя-галогена X при атоме S в молекулах SHX на атоме серы уменьшается значение положительного ESP-потенциала, что приводит к увеличению расстояния между мономерами в Акомплексах и уменьшению энергии халькогенной связи. В Б-комплексах с H-связью мы видим

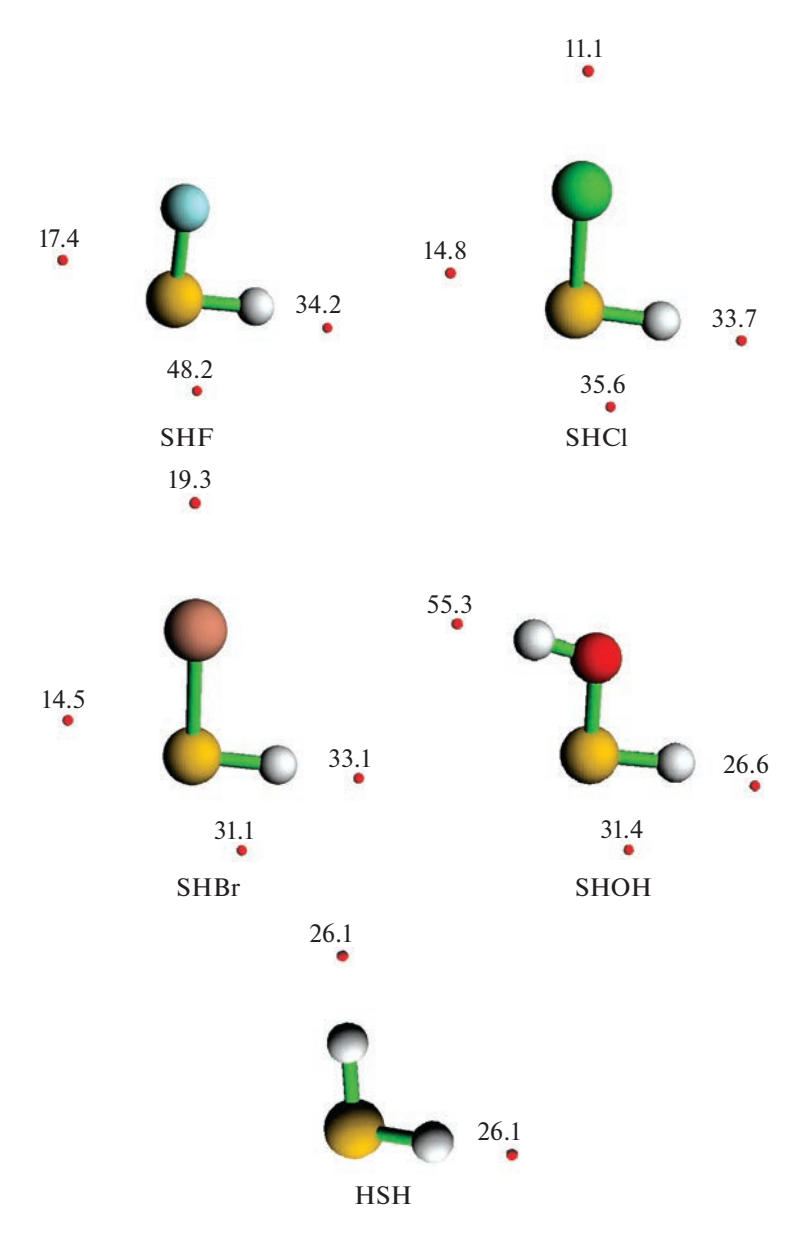


Рис. 1. Положение максимумов положительного электростатического потенциала ESP на ван-дер-ваальсовой поверхности молекул двухвалентной серы, образующих бимолекулярные комплексы с халькогенной и водородной связью. Значения максимумов ESP (ккал/моль) найдены с использованием программы Multiwfn.

обратную картину: энергия H-связи S-H···O возрастает с уменьшением электроотрицательности галогена в ряду H_2O ···HSF < H_2O ···HSCl < < H_2O ···HSBr. Интересно, что при этом энергия H-связи в комплексах галогензамещенных производных заметно выше, чем в комплексе H_2O ···HSH. Энергия как халькогенной, так и водородной связи найдена наименьшей в комплексах, образованных молекулой SHOH.

Как показывает табл. 1, значения углов θ_{XSO} и θ_{SHO} координации мономеров в комплексах с халькогенной и водородной связью заметно отклоняются от 180° ; при этом не выявляется ка-

кой-либо тенденции для этих углов с изменением электроотрицательности соседнего с серой атома галогена. В то же время наблюдается линейная корреляция между углами θ и углом α , определяющим положение максимума положительного ESP на атомах серы и водорода в молекулах, которые образуют соответствующие комплексы A- и Б-типа (рис. 3).

Ковалентные связи S—X и S—H молекул SHX при образовании ими халькогенной и водородной связи с молекулой воды удлиняются; при этом наблюдается следующее отличие для A- и Б-комплексов. С уменьшением электроотрицательности заместителя X удлинение ковалентной свя-

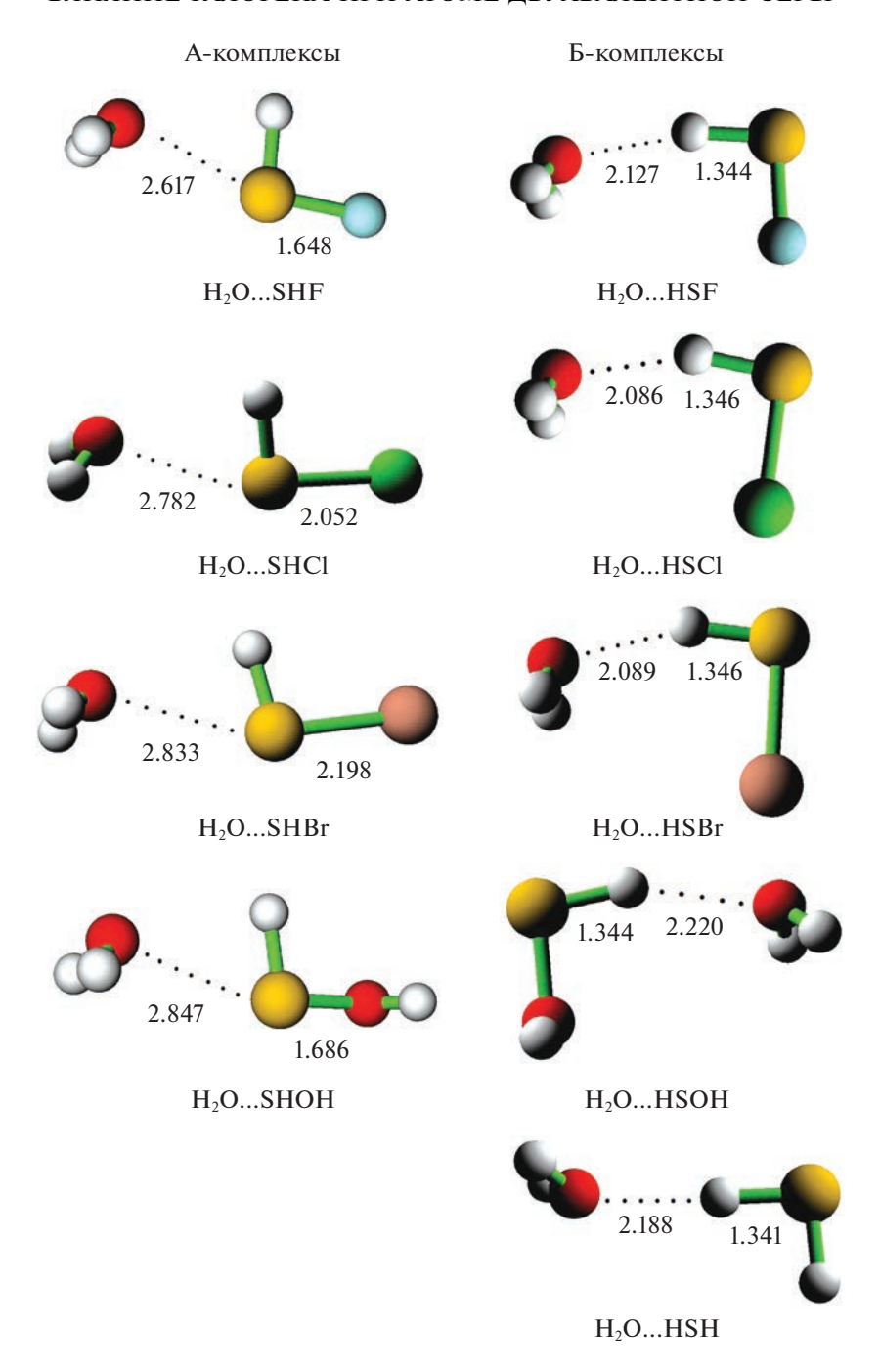


Рис. 2. Молекулярные комплексы с халькогенной связью S···O (А-комплексы) и с водородной связью S–H···O (Б-комплексы), образованные соединениями двухвалентной серы и молекулой воды. Числа указывают межатомные расстояния в Å.

зи S-X мономера в комплексе A уменьшается, тогда как удлинение связи S-H при образовании комплекса B становится больше. Соответствующие изменения длины ковалентной связи при комплексообразовании отражает частотный сдвиг Δv_{SX} и Δv_{SH} в UK-спектрах; в обоих случаях наблюдается красное смещение SX- и SH-полос валентного колебания.

Несколько неожиданным оказался результат NMR-анализа экранирования ядра атома серы, представленный в табл. 1. Расчеты методом GIAO показали усиление экранирования в комплексах с халькогенной связью. Химический сдвиг в высокочастотную область особенно велик в комплексе $\rm H_2O\cdots SHF$, образованном молекулами воды и SHF.

Таблица 1. Межмолекулярное расстояние $R(S\cdots O)$ и $R(H\cdots O)$, максимальное значение положительного электростатического потенциала ESP на атомах серы и водорода в молекулах SHX, угол α , определяющий положение максимума ESP, угол θ_{XSO} (θ_{SHO}) халькогенной и водородной связи, изменение длины ΔR_{SX} (ΔR_{SH}) ковалентных связей S—X и S—H, частотный сдвиг Δv_{SX} (Δv_{SH}) полосы в ИК-спектре, химический сдвиг δ_S (δ_H) на атомах серы и водорода и энергия связи E_{bind} в комплексах с халькогенной и водородной связью

| • • | $R(S\cdots O)/R(H\cdots O),$ | - | α, | $\theta_{\rm XSO}/\theta_{\rm SHO},$ | $\Delta R_{\rm SX}/\Delta R_{\rm SH}$, | _ | $\delta_{\rm S}/\delta_{\rm H},$ | $E_{ m bind}$, ккал/моль | |
|----------------------------------|------------------------------|-----------|-------|--------------------------------------|---|------------------|----------------------------------|---------------------------|--------|
| комплекс | A | ккал/моль | град | град | мÅ | cm ⁻¹ | ppm | без BSSE | c BSSE |
| А-комплекс халькогенная связь | | | | | | | | | |
| H ₂ O···SHF | 2.617 | 48.2 | 162.6 | 166.6 | 14.4 | -34.4 | 103.7 | 5.96 | 5.47 |
| H ₂ O···SHCl | 2.782 | 35.6 | 158.4 | 163.6 | 12.7 | -18.0 | 6.5 | 4.45 | 4.00 |
| H_2O ···SHBr | 2.833 | 31.1 | 157.2 | 161.9 | 10.4 | -9.7 | 3.9 | 4.18 | 3.58 |
| H ₂ O···SHOH | 2.847 | 31.4 | 156.7 | 164.3 | 7.2 | -13.5 | 15.0 | 3.72 | 3.32 |
| Б-комплекс водородная связь | | | | | | | | | |
| H ₂ O···HSF | 2.127 | 34.2 | 161.3 | 165.0 | 4.2 | -48.2 | -2.3 | 3.88 | 3.49 |
| H ₂ O···HSCl | 2.086 | 33.7 | 153.8 | 159.4 | 7.0 | -79.2 | -2.9 | 4.41 | 3.96 |
| H ₂ O···HSBr | 2.089 | 33.1 | 150.2 | 157.9 | 7.2 | -81.3 | -3.1 | 4.64 | 3.98 |
| H ₂ O···HSOH | 2.220 | 26.6 | 155.7 | 160.1 | 1.5 | -24.4 | -1.9 | 2.93 | 2.53 |
| H ₂ O···HSH | 2.188 | 26.1 | 174.1 | 176.1 | 5.2 | -45.8 | -2.3 | 2.98 | 2.65 |

Анализ натуральных орбиталей (NBO-анализ). Особенности координации мономеров относительно друг друга при халькогенном и водородном связывании обуславливают различия в межорбитальном взаимодействии. Образованию σ -комплекса с халькогенной связью отвечает перекрывание n_{O} -орбитали неподеленной электронной пары кислорода молекулы воды и анти- σ -орбитали σ_{SX}^* ковалентной связи S-X-молекулы SHX. В H-связанном комплексе в межорбитальное взаимодействие мономеров вовлечены неподеленная пара кислорода и анти- σ -орбиталь σ_{SH}^* ковалентной связи S-H.

Межорбитальное перекрывание определяет донорно-акцепторное взаимодействие мономеров с переносом заряда с молекулы воды. Количественной оценкой донорно-акцепторного взаимодействия является энергия E(2) возмущения второго порядка. В табл. 2 приведены значения E(2), отвечающие межорбитальному взаимодействию $n_{\rm O} o \sigma_{\rm SX}^*$ и $n_{\rm O} o \sigma_{\rm SH}^*$ в А- и Б-комплексах соответственно. Из данных таблицы можно видеть, что значения E(2) для случаев халькогенной и водородной связи в рассматриваемых комплексах очень близки, 5-8 ккал/моль. Для сравнения, рассчитанные методом MP2/aug-cc-pVTZ энергии E(2) межорбитального взаимодействия мономеров в комплексах Cl-...SCO и Cl-...SCS с халькогенной связью S···Cl составляют 8.56

7.91 ккал/моль [4]. Величина электронного заряда $Q_{\rm tr}$, который переходит с молекулы воды, в комплексах обоих типов хорошо коррелирует с заселенностью η $n_{\rm O}$ -орбитали неподеленной пары кислорода воды.

При образовании σ -комплексов с халькогенной связью изменение NPA-заряда $\Delta q_{\rm S}$ на атоме серы заметно меньше, чем изменение NPA-заряда $\Delta q_{\rm H}$ на атоме водорода в H-связанных комплексах. В A-комплексах наблюдается контринтуитивная тенденция увеличения положительных значений $\Delta q_{\rm S}$ с уменьшением электроотрицательности атома галогена, ковалентно связанного с серой. Расчетные величины $\Delta q_{\rm O}$ на атоме кислорода молекулы воды в A- и Б-комплексах близки и отрицательны, что ожидаемо из соображений электростатической стабилизации комплексов.

Топологический анализ. Анализ топологии электронной плотности в комплексах с халькогенной и водородной связью методом AIM-теории Бейдера [27, 28] показывает существование связевого пути, соединяющего атом кислорода с серой в А-комплексах и с водородом в Б-комплексах. На рис. 4 представлены молекулярные графы комплексов H_2O ···SHF и H_2O ···HSF, а значения топологических параметров критической точки связи BCP (3, -1) для межмолекулярных контактов S···O и H···O даны в табл. 3. Второй столбец таблицы показывает электронную плот-

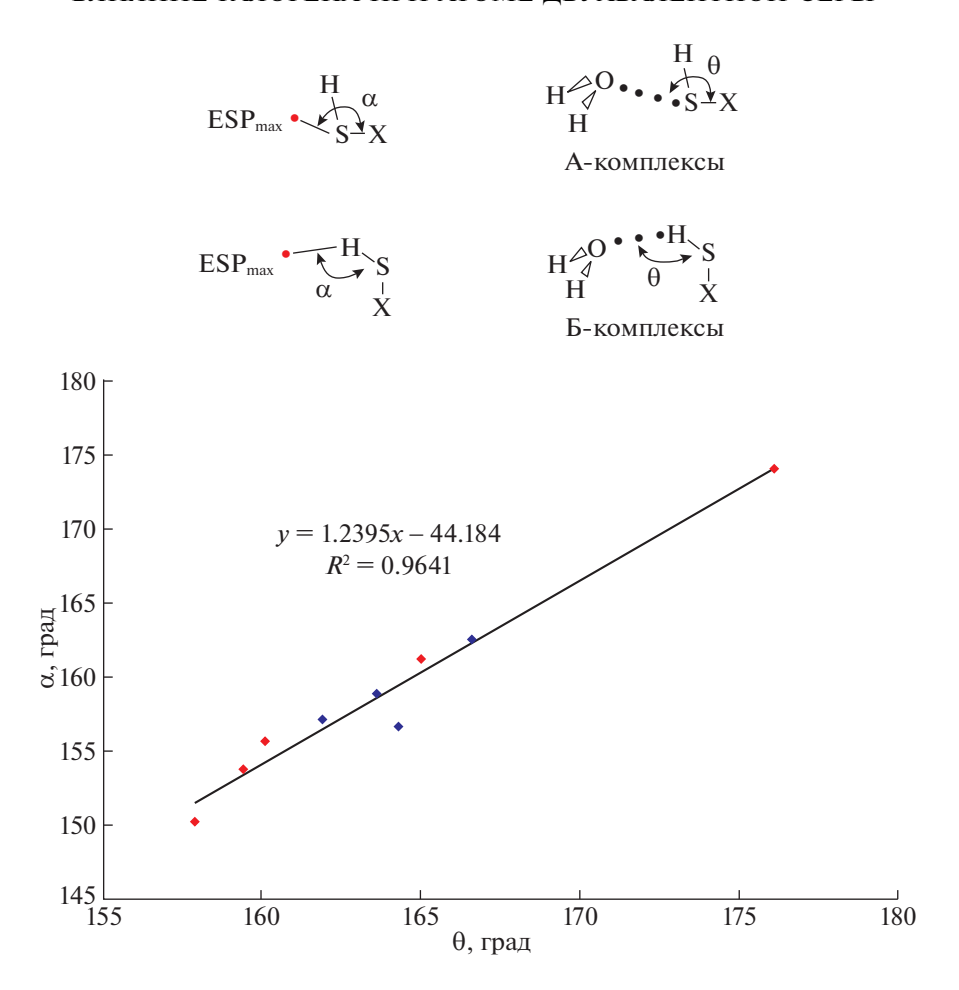


Рис. 3. Линейная корреляция между значениями угла α , определяющего положение максимума положительного электростатического потенциала вблизи атомов серы и водорода в молекулах двухвалентной серы, и угла θ ориентации мономеров в комплексах с халькогенной связью S \cdots O (синие значки) и комплексах с водородной связью S-H \cdots O (красные значки).

ность ρ_{BCP} в критической точке, которая считается показателем прочности межмолекулярной связи [32, 33]. В А- и Б-комплексах значения ρ_{BCP} близки и варьируют от 0.013 а.u. до 0.020 а.e., попадая в интервал значений, характерный для комплексов с водородной связью, 0.002 а.e. $< \rho_{BCP} < < 0.035$ а.e. [34].

Из табл. З видно, что лапласиан электронной плотности $\nabla^2 \rho_{BCP}$ в критической точке связи (3,-1) во всех комплексах имеет положительное значение, что характерно для систем с закрытыми оболочками. В комплексах обоих типов отмечаются близкие значения плотности потенциальной энергии V_{BCP} и плотности полной энергии H_{BCP} в критической точке межмолекулярных контактов. Во всех комплексах значения H_{BCP} положительны, что позволяет исключить заметную роль ковалентной составляющей как в водородном, так и в халькогенном связывании [35]. Несколько бо́льшие значения LOL- и ELF-параметров указывают на более выраженную локализацию орби-

талей и электронов в критической точке водородной связи по сравнению с халькогенной связью. Меньшие значения эллиптичности лапласиана є в Б-комплексах также свидетельствуют о том, что структурная стабильность комплексов с Н-связью несколько выше, чем у комплексов с халькогенным освязыванием. Отметим, что электростатический потенциал ESP в критической точке межмолекулярных контактов S…О и Н…О в рассматриваемых нейтральных комплексах имеет положительное значение в отличие от анионных комплексов, в которых ESP, как правило, отрицателен [36, 37].

Разложение энергии связи на составляющие. Полезную информацию о природе межмолекулярного взаимодействия дает анализ составляющих энергии связи в молекулярном комплексе. В табл. 4 представлены значения компонент энергии взаимодействия мономеров в А- и Б-комплексах, рассчитаннные по схеме Китауры—Морокумы [38]. Из данных таблицы видно, что

Таблица 2. Процентный вклад p-орбитали % p в гибридные орбитали, NPA-заселенность η -орбитали, изменение NPA-заряда Δq на атомах при образовании комплекса, перенесенный с молекулы воды заряд $Q_{\rm tr}$ и энергия возмущения E(2) второго порядка в комплексах с халькогенной и водородной связью

| Молекулярный комплекс | $n_{ m O}$ -орбиталь | | $\sigma_{\mathrm{SX}}^*/\sigma_{\mathrm{SH}}^*$ | | Δq , me | | Q_{tr} , | E(2), | |
|-------------------------------|----------------------|---|---|-----------------------------------|-------------------|-------|---------------------|-------|--|
| молекулярный компыске | % p | % p η % p η $\Delta q_{\mathrm{S}}/2$ | | $\Delta q_{ m S}/\Delta q_{ m H}$ | $\Delta q_{ m O}$ | me | ккал/моль | | |
| А-комплекс халькогенная связь | | | | | | | | | |
| H ₂ O···SHF | $79.81sp^{3.97}$ | 1.9743 | $90.01sp^{11.65}$ | 0.0290 | -6.1 | -10.0 | 19.5 | 9.05 | |
| H ₂ O···SHCl | $79.32sp^{3.86}$ | 1.9829 | 89.65 <i>sp</i> ^{12.03} | 0.0167 | 14.3 | -9.7 | 11.9 | 5.79 | |
| H ₂ O···SHBr | $79.72sp^{3.95}$ | 1.9848 | $90.04sp^{12.25}$ | 0.0142 | 19.5 | -9.1 | 10.5 | 4.93 | |
| H ₂ O···SHOH | $87.07sp^{6.80}$ | 1.9864 | $88.32sp^{8.37}$ | 0.0167 | -2.9 | -7.7 | 8.7 | 4.40 | |
| Б-комплекс водородная связь | | | | | | | | | |
| H ₂ O···HSF | $73.26sp^{2.75}$ | 1.9881 | $83.42sp^{5.36}$ | 0.0188 | 48.2 | -13.1 | 7.5 | 6.28 | |
| H ₂ O···HSCl | $78.14sp^{3.59}$ | 1.9858 | 81.91 <i>sp</i> ^{4.99} | 0.0201 | 50.7 | -11.3 | 9.4 | 7.57 | |
| H ₂ O···HSBr | $81.30sp^{4.38}$ | 1.9853 | 81.81 <i>sp</i> ^{4.94} | 0.0190 | 49.6 | -10.3 | 10.0 | 7.65 | |
| H ₂ O···HSOH | $72.34sp^{2.62}$ | 1.9914 | $83.72sp^{5.45}$ | 0.0203 | 43.7 | -10.6 | 4.5 | 4.05 | |
| H ₂ O···HSH | $62.64sp^{4.89}$ | 1.9914 | $82.34sp^{4.89}$ | 0.0072 | 42.1 | -10.8 | 5.3 | 4.18 | |

Таблица 3. Электронная плотность ρ , лапласиан электронной плотности $\nabla^2 \rho$, эллиптичность лапласиана ϵ , плотность потенциальной энергии $V_{\rm BCP}$, плотность полной энергии $H_{\rm BCP}$, параметры локализации электронов ELF и орбиталей LOL и электростатический потенциал ESP в критической точке межмолекулярных контактов S···O и H···O в комплексах с халькогенной и водородной связью

| Morovinganius is volumento | Топологические параметры | | | | | | IOI | ECD |
|-------------------------------|--------------------------|-----------------|--------|--------------------|--------------------|--------|--------|--------|
| Молекулярный комплекс | ρ | $\nabla^2 \rho$ | ε | V_{BCP} | H_{BCP} | ELF | LOL | ESP |
| А-комплекс халькогенная связь | | | | | | | | |
| H ₂ O···SHF | 0.0203 | 0.0882 | 0.0952 | -0.0179 | 0.0021 | 0.0451 | 0.1786 | 0.1492 |
| H ₂ O···SHCl | 0.0150 | 0.0669 | 0.2315 | -0.0119 | 0.0024 | 0.0323 | 0.1545 | 0.0869 |
| H ₂ O···SHBr | 0.0138 | 0.0615 | 0.3929 | -0.0106 | 0.0024 | 0.0296 | 0.1488 | 0.0697 |
| H ₂ O⋯SHOH | 0.0129 | 0.0595 | 0.3519 | -0.0109 | 0.0023 | 0.0257 | 0.1399 | 0.0674 |
| Б-комплекс водородная связь | | | | | | | | |
| $H_2O\cdots HSF$ | 0.0172 | 0.0676 | 0.0361 | -0.0121 | 0.0024 | 0.0489 | 0.1850 | 0.0804 |
| H ₂ O···HSCl | 0.0193 | 0.0738 | 0.0332 | -0.0140 | 0.0022 | 0.0568 | 0.1972 | 0.0929 |
| $H_2O\cdots HSBr$ | 0.0194 | 0.0737 | 0.0357 | -0.0140 | 0.0022 | 0.0576 | 0.1983 | 0.0941 |
| H ₂ O···HSOH | 0.0140 | 0.0561 | 0.0359 | -0.0093 | 0.0024 | 0.0382 | 0.1663 | 0.0474 |
| $H_2O\cdots HSH$ | 0.0144 | 0.0587 | 0.0581 | -0.0098 | 0.0024 | 0.0382 | 0.1662 | 0.0525 |

Примечание. Все величины кроме ε даны в а.е.

процентное соотношение вкладов в халькогенное и водородное связывание заметно отличается. В А-комплексах с халькогенной связью вклад электростатического взаимодействия (ES-компонента) заметно превышает компоненту с обменным отталкиванием (EX), которая составляет около 60% от ES-компоненты. В Б-комплексах с Н-связью электростатическое взаимодействие

также доминирует, но величины ES- и EX-компонент отличаются не столь существенно. В стабилизации Б-комплексов заметную роль играет также компонента с переносом заряда (СТ), вклад которой в энергию водородной связи достигает 40% от вклада электростатического взаимодействия.

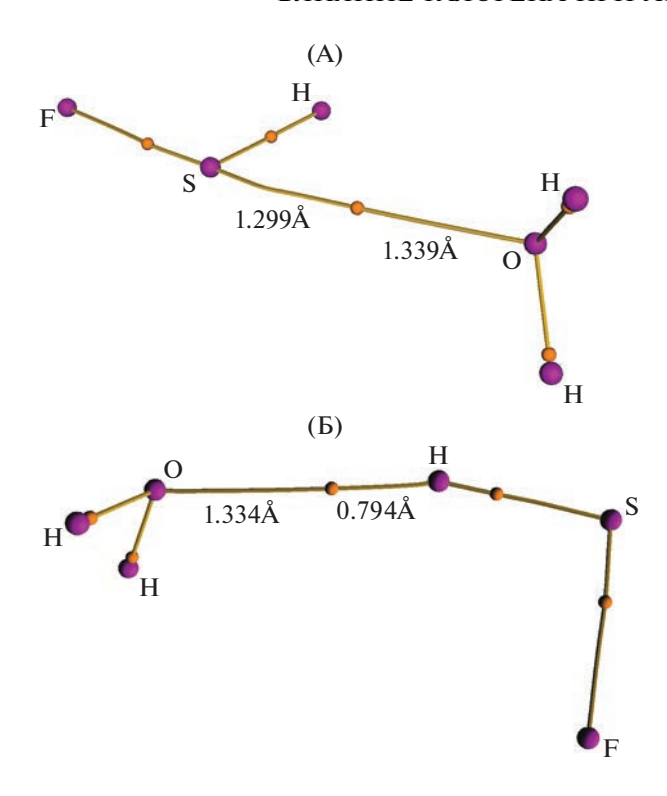


Рис. 4. Молекулярные графы электронной плотности, построенные для комплекса H_2O ···SHF с халькогенной связью S···O (A) и комплекса H_2O ···HSF с водородной связью O···H=S (Б). Пурпурные и оранжевые сферы отвечают критическим точкам (3,-3) и (3,-1) соответственно; коричневые линии обозначают связевые пути. Числа указывают расстояние от ядра атома до критической точки (3,-1) межмолекулярного контакта.

Значения дисперсионной энергии, которую можно определить как энергию электронной корреляции $E_{\rm corr}$, приведены в последнем столбце табл. 4 и дополняют разложение Китауры—Морокумы. Величины $E_{\rm corr}$ найдены как разность полных энергий комплексов, рассчитанных на post-SCF- и SCF-уровнях теории, и составляют 1.5—2.5 ккал/моль в комплексах обоих типов. Поскольку энергии связи в рассматриваемых комплексах невелики (\sim 4 ккал/моль), дисперсионные взаимодействия играют довольно важную роль в их стабилизации.

Взаимопревращение комплексов. Расчеты показывают, что в рассматриваемых комплексах мономеры могут легко менять взаимную ориентацию; при этом комплекс A переходит в комплекс Б и наоборот. Структура переходного состояния (ПС) подобного взаимопревращения комплексов была найдена с использованием процедуры QST3 программы Gaussian 09. Расчетная геометрия переходных состояний для реакции $A \leftrightarrow B$ взаимопревращения комплексов показана на рис. 5. Из рисунка мы видим, что с уменьшением электроотрицательности заместителя-галогена при атоме

серы в ПС наблюдается уменьшение угла OHS со 141.2° в комплексе, образованном молекулой HSF, до 118.4° при образовании комплекса молекулой HSBr, а расстояние S···O уменьшается соответственно с 3.363 до 3.193 Å.

Наблюдаемая тенденция для атомов галогенов находится в согласии с расчетной энергией связи в А- и Б-комплексах. Как видно из данных табл. 1, молекула HSF образует намного более прочную халькогенную связь по сравнению с водородной, т.е. А-комплексу H_2O SHF на поверхности потенциальной энергии (ППЭ) отвечает глобальный минимум, а Б-комплексу H₂O···HSF – локальный. Поэтому переход $Б \to A$ происходит с образованием раннего переходного состояния, когда атом водорода молекулы HSF в ПС не очень сильно смещается с линии H-связи S-H···O. В случае с молекулой HSBr ситуация обратная: Н-связь с молекулой воды оказывается прочнее, чем халькогенная, и глобальный минимум на ППЭ отвечает Б-комплексу H₂O···HSBr. Поэтому в ПС при превращении $\mathbf{F} \to \mathbf{A}$ мы видим заметное отклонение угла OHS от линейного и сближение атомов серы и кислорода мономеров.

На рис. 5 приведены также величины активационных барьеров взаимопревращений $A \to B(E_1)$ и Б \rightarrow A (E_2). Для всех комплексов расчетные барьеры не превышают 2 ккал/моль, что определяет легкость взаимопревращения $A \leftrightarrow B$ комплексов. Отметим, что топологический анализ показывает для всех комплексов существование в переходном состоянии только одного межмолекулярного связывающего пути Н...О, соединяющего атом кислорода молекулы воды и водород молекулы HSX. Таким образом, доминирующим взаимодействием между мономерами при образовании ПС является водородное связывание. Из литературных данных известно, что в Н-связанных молекулярных комплексах угол водородной связи Х-Н…Ү может отклоняться от линейного до значений в 110° [39].

Таким образом, квантово-химические расчеты бинарных комплексов H₂O···SHX с халькогенной связью (А-комплексы) и комплексов H₂O···HSX с водородной связью (Б-комплексы) показали, что пространственная ориентация мономеров определяется положением максимумов положительного электростатического ESP-потенциала на атомах серы и водорода молекулы SHX. По данным расчетов энергии халькогенной связи в комплексах А и водородной связи в комплексах Б имеют близкие значения. В комплексах обоих типов наблюдается удлинение ковалентной связи, вовлеченной в межмолекулярное связывание, т.е S–X- и S–H-связей, и смещение полосы соответствующего валентного колебания в ИК-спектре в длинноволновую область.

Таблица 4. Компоненты энергии связи (ккал/моль) в комплексах с халькогенной и водородной связью, полученные с использованием схемы Китауры—Морокумы и данных MP2/aug-cc-pVTZ расчетов

| Молекулярный | Компонента энергии связи | | | | | | | | |
|-------------------------|--------------------------|-------|-------|-------|-------|--|--|--|--|
| комплекс | ES | EX | POL | CT | DISP | | | | |
| А-комплекс | | | | | | | | | |
| халькогенная связь | | | | | | | | | |
| H ₂ O···SHF | -12.24 | 7.46 | -0.92 | -2.80 | -2.47 | | | | |
| H ₂ O···SHCl | -9.72 | 6.71 | -0.93 | -2.87 | -1.87 | | | | |
| H ₂ O···SHBr | -4.37 | 2.72 | -0.34 | -0.93 | -1.93 | | | | |
| H ₂ O···SHOH | -6.69 | 3.75 | -0.58 | -1.59 | -1.81 | | | | |
| Б-комплекс | | | | | | | | | |
| водородная связь | | | | | | | | | |
| H ₂ O···HSF | -10.60 | 8.56 | -0.98 | -3.51 | -1.42 | | | | |
| H ₂ O···HSCl | -12.88 | 11.63 | -1.21 | -4.71 | -1.85 | | | | |
| H ₂ O···HSBr | -14.65 | 14.70 | -1.33 | -5.81 | -2.13 | | | | |
| H ₂ O···HSOH | -8.36 | 5.89 | -0.51 | -3.16 | -1.43 | | | | |
| H ₂ O···HSH | -5.37 | 5.08 | -0.62 | -2.23 | -1.32 | | | | |

Примечание. Обозначения ES, EX, POL и CT относятся к компонентам электростатического взаимодействия, обменного отталкивания, поляризации и переноса заряда соответственно. Компоненты с отрицательным знаком являются связывающими. Компонента MIX в разложении Китауры—Морокумы в таблицу не включена. DISP— энергия дисперсии, которая определена как расчетное значение энергии электронной корреляции.

Энергии E(2) межорбитального взаимодействия в A- и Б-комплексах также близки, а величина переноса заряда с молекулы воды хорошо

коррелирует с заселенностью орбитали неподеленной пары кислорода. Расчетные значения топологических параметров типичны для систем с закрытой электронной оболочкой и указывают на немного более высокую структурную стабильность комплексов с Н-связью. В рассмотренных комплексах доминирующей компонентой энергии межмолекулярного взаимодействия является электростатика; однако в комплексах с Н-связью величины электростатического вклада и энергии обменного отталкивания близки. В Б-комплексах значительный вклад в стабилизацию комплексов вносит компонента с переносом заряда, которая приближается к 40% от электростатической компоненты. Для комплексов обоих типов существенными оказываются дисперсионные взаимодействия; в комплексах с халькогенной связью энергия дисперсии сопоставима с компонентой с переносом заряда.

С уменьшением электроотрицательности галогена при атоме серы отмечается уменьшение стабильности А-комплекса и увеличение стабильности Б-комплекса, при этом глобальный минимум на ППЭ для комплекса А превращается в локальный. По данным расчетов имеет место легкое взаимопревращение комплексов; активационный барьер перехода $A \leftrightarrow B$ не превышает 2 ккал/моль. Межмолекулярное связывание мономеров в переходном состоянии определяется водородной связью $S-H\cdots O$, угол которой варьирует от 118 до 141° .

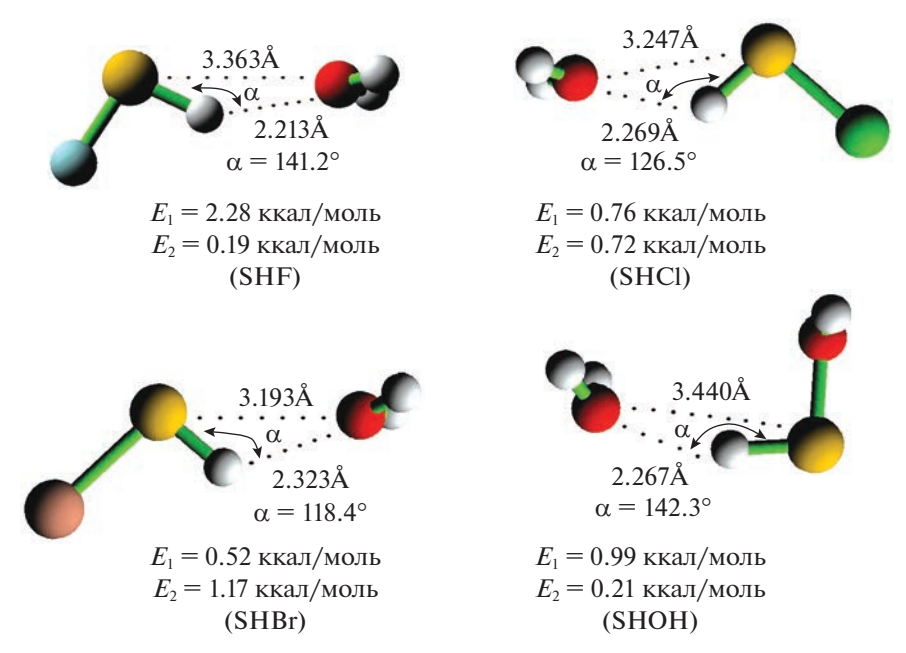


Рис. 5. Структура переходного состояния для взаимопревращения комплексов $A \leftrightarrow B$. E_1 и E_2 показывают величину активационного барьера перехода $A \to B$ и $B \to A$ соответственно. В скобках указана молекула SHX, образующая комплекс с волой.

СПИСОК ЛИТЕРАТУРЫ

- 1. Kollman P. // J. Am. Chem. Soc. 1977. V. 99. P. 4875.
- Clark T., Hennemann M., Murray J.S., Politzer P. // J. Mol. Model. 2007. V. 1. P. 291.
- 3. Auffinger P., Hays F.A., Westhof E., Ho P.S. // Proc. Natl. Acad. Sci. USA 2004. V. 101. P. 16789.
- Wang W., Ji B., Zhang Y. // J. Phys. Chem. A 2009.
 V. 113. P. 8132.
- Murray J.S., Lane P., Politzer P. // Int. J. Quantum Chem. 2007. V. 107. P. 2286.
- Murray J.S., Lane P., Politzer P. // J. Mol. Model. 2009.
 V. 15. P. 723.
- Murray J.S., Lane P., Clark T. et al. // Ibid. 2012. V. 18. P. 541.
- 8. *Wheeler S.E., Houk K.N.* // J. Chem. Theory Comput. 2009. V. 5. P. 2301.
- Riley K.E., Hobza P. // J. Chem. Theory Comput. 2008.
 V. 4. P. 232.
- 10. *Riley K.E., Murray J.S., Politzer P. et al.* // J. Chem. Theory Comput. 2009. V. 5. P. 155.
- Riley K.E., Hobza P. // Phys. Chem. Chem. Phys. 2013.
 V. 15. P. 17742.
- 12. Deepa P., Pandiyan B.V., Kolandaivel P., Hobza P. // Phys. Chem. Chem. Phys. 2014. V. 16. P. 2038.
- Rosokha S.V., Stern C.L., Ritzert J.T. // Chem. Eur. J. 2013. V. 19. P. 8774.
- Rosokha S.V., Vinakos M.K. // Phys. Chem. Chem. Phys. 2014. V. 16. P. 1809.
- Wolters L.P., Bickelhaupt F.M. // Chemistry Open 2012.
 V. 1. P. 96.
- Zhang X.Y., Zeng Y.L., Li X.Y. et al. // Struct. Chem. 2011. V. 22. P. 567.
- Frisch M.J., Trucks G.W., Schlegel H.B. et al. Gaussian 09, Revision D.01, Gaussian, Inc., Wallingford CT, 2009.
- 18. Quiñonero D., Estarellas C., Frontera A., Deyà P.M. // Chem. Phys. Lett. 2011. V. 508. P. 144.
- 19. Moller C., Plesset M.S. // Phys. Rev. 1934. V. 46. P. 618.

- 20. Kendall R.A., Dunning T.H. Jr., Harrison R.J. // J. Chem. Phys. 1992. V. 96. P. 6796.
- 21. Boys S.F., Bernardi F. // Mol. Phys. 1970. V. 19. P. 553.
- Reed A.E., Weinhold F., Curtiss L.A., Pochatko D.J. // J. Chem. Phys. 1986. V. 84. P. 5687.
- 23. Reed A.E., Curtiss L.A., Weinhold F. // Chem. Rev. 1988. V. 88. P. 899.
- 24. Ditchfield R. // Mol. Phys. 1974, V. 27. P. 789.
- Wolinski K., Hilton J.F., Pulay P. // J. Am. Chem. Soc. 1990. V. 112. P. 8251.
- 26. Lu T., Chen F. // J. Comp. Chem. 2012. V. 33. P. 580.
- 27. Bader R.F.W. // Chem. Rev. 1991. V. 91. P. 893.
- 28. *Bader R.F.W.* Atoms in molecules, a quantum theory. Oxford: Clarendon Press. 1993.
- 29. Schmidt M.W., Baldridge K.K., Boatz J.A. et al. // J. Comput. Chem. 1993. V. 14. P. 1347.
- 30. *Gordon M.S., Schmidt M.W.* // Theory and Applications of Computational Chemistry: the first forty years. Eds. C.E. Dykstra, G. Frenking, K.S. Kim, G.E. Scuseria. Asterdam: Elsevier, 2005. 1167 p.
- Nepal B., Scheiner S. // Chemical Physics 2015. V. 456.
 P. 34.
- 32. *Mó O., Yánez M., Elguero J.* // J. Mol. Struct. (Theochem) 1994. V. 314. P. 73.
- Espinosa E., Molins E., Lecomte C. // Chem. Phys. Lett. 1998. V. 285. P. 170.
- 34. *Popelier P.L.A.* // J. Phys. Chem. A 1998. V. 102. P. 1873.
- Cremer D., Kraka E. // Angew. Chem., Int. Ed. Engl. 1984. V. 23. P. 627.
- Isaev A.N. // Comput. Theoret. Chem. 2017. V. 1117.
 P. 141.
- 37. Isaev A.N. // Chem. Phys. Lett. 2021. V. 763. 138195.
- 38. *Morokuma K., Kitaura K.* Molecular Interactions. York: WileyNew, 1980. P. 21.
- 39. Steiner T. // Angew. Chem., Int. Ed. Engl. 2002. V. 41. P. 48